



تحلیل تجربی و عددی نیم استوانه مشبک کامپوزیتی تقویت شده با الگوی مثلثی تحت بارگذاری ضربه سرعت بالا

سید محمد رضا خلیلی^{1*}، سید مهیار میر محمد حسین آهاری²، یاسر صدیق²

1- استاد، مهندسی مکانیک، دانشگاه صنعتی خواجه نصیرالدین طوسی، تهران

2- کارشناس ارشد، مهندسی مکانیک، دانشگاه صنعتی خواجه نصیرالدین طوسی ، تهران

* تهران ، صندوق پستی 16846-13114

چکیده

در این مقاله فرایند ساخت قالب برای استوانه مشبک کامپوزیتی مطالعه گردیده و نمونه مشبک با استفاده از روش رشته پیچی ساخته شده است. همچنین رفتار سازه مشبک کامپوزیتی نیم استوانه‌ای با الگوی مثلثی از جنس شیشه-اپوکسی تحت بار ضربه‌ای به صورت تجربی و عددی بررسی شده است. به منظور آزمون ضربه از دستگاه تفنجک گازی استفاده شده است که سرعت ورودی و خروجی از دستگاه به دست می‌آید. همچنین برای این آزمون فیکسچر مناسبی طراحی شده است. پرتابه مورد استفاده به شکل استوانه و دارای سر نیم کروی می‌باشد. شبیه سازی عددی آزمون ضربه انجام شده است و با نتایج تجربی صحت سنگی شده است. سرعت خروجی، سطح آسیب، جدایش بین پوسته و ریب به صورت تجربی و عددی با هم مقایسه شده‌اند. در نهایت به بررسی عددی اثر نوع پرتابه و زاویه لایه چینی بر روی پارامترهای ضربه پرداخته شده است. در محدوده زاویه‌لایه چینی 45 درجه کمترین میزان سرعت خروجی پرتابه و بیشترین میزان جذب انرژی را دارایی باشد. پرتابه سرتخت نسبت به دو پرتابه سرمهroxotی و سر نیم کروی به دلیل این که سر پرتابه سطح تماس بیشتری با پوسته دارد، بیشترین آسیب را به سازه‌وارد می‌کند و در نتیجه سرعت خروجی پرتابه کمتر و جذب انرژی سازه بیشتر است.

اطلاعات مقاله

دریافت: 95/03/30

پذیرش: 95/11/29

کلیدواژگان:

استوانه مشبک

آزمون تجربی ضربه

شبیه سازی عددی

جذب انرژی

آسیب

Experimental and numerical investigation on semi-cylindrical compositelattice reinforced with triangular cellssubjected to high velocity impact

Seyed Mohammad Reza Khalili^{1*}, Seyed Mahyar Mir Mohammad Hossein Ahari¹, Yaser Sedigh¹

1-Faculty of Mechanical Engineering, K.N. Toosi University of Technology, Tehran, Iran

* P.O.B. 16846-13114, Tehran, Iran, khalili@kntu.ac.ir

Keywords

Cylindrical lattice
Experimental analysis
Numerical simulation
Energy absorption
Damage

Abstract

In this paper, the process of manufacture of mold for lattice cylindrical composite is studied and lattice composite samples has been manufactured by the filament winding process. Also, the structural behavior of lattice semi-cylindrical composite made by glass/Epoxy with has been studied under high velocity impact by experimental and numerical analysis. A gas gun testing machine has been used for high velocity impact test that recorded the input and output velocities. Also, for this test, suitable fixture has been designed. The cylindrical projectile with hemispherical head has been used as impactor. Numerical simulation of impact tests has been conducted by ABAQUS commercial finite element code and the results have been verified by experimental results. Output velocity, surface damage, the separation between the shell and the rib are compared experimentally and numerically. Finally, numerical investigation of the shape of the projectile and the layup orientation has been done. Results show that 45 degrees angle of layup has minimum output velocity and maximum energy absorption. Also, the projectile with flat head has been created maximum area damage, because of the less area contact with shell relative to another projectiles, therefore has less output velocity and more energy absorption.

Please cite this article using:

برای ارجاع به این مقاله از عبارت زیر استفاده نمایید:

Khalili, S. M. R. Ahari, S. M. M. M. Sedigh, Y., "Experimental and numerical investigation on semi-cylindrical compositelattice reinforced with triangular cellssubjected to high velocity impact", In Persian, Journal of Science and Technology of Composites, Vol. 05, No. 02, pp. 208-217, 2018.

۱- مقدمه

استفاده شده است. نتایج شبیه سازی و تست نشان داده است که این نوع سازه دارای حد آسیب خوبی می باشد. مشاهده شده است علی رغم اینکه بار بیشینه زمانیکه بارگذاری در سمت پوسته است نسبت به زمانی که بارگذاری در سمت ریب است، بیشتر می باشد، مقدار جذب انرژی ویژه و دامنه جابجایی زمانی که بارگذاری در سمت ریب است، بیشتر است.

جادهو و همکارانش [7]، به صورت تجربی و عددی به بررسی جذب انرژی و ارزیابی آسیب صفحه مشبک کامپوزیتی تحت بارگذاری عرضی با دامنه جابجایی بزرگ پرداختند. آن های رای ارزیابی کیفیت ساخت صفحه مشبک از تحلیل فرکانسی استفاده کردند که هر چه قدر فرکانس نمونه-های بهبودمنزدیکتر باشد، نشان دهنده کیفیت ساخت شبیه به هم نمونه-های خواهد بود.

فان و همکارانش [8]، در زمینه جذب امواج میکرو توسط صفحات مشبک کامپوزیتی به پژوهش پرداختند. در این تحقیقات که بر روی رزین های تقویت شده با الیاف کربن و شیشه انجام شد، با ساخت چند نمونه و آزمایش

آن ها توانایی جذب امواج میکرو در آن ها مورد بررسی قرار گرفت.

سانچز و همکارانش [9]، به توسعه روش عددی که قدرت پیش بینی آسیب ناشی از برخورد پرتا به با سرعت بالا روی اهداف کامپوزیتی کربن-اپوکسی را داشت، پرداختند. در این شبیه سازی در حالات نفوذ کامل، سرعت خروجی و سطح شکست محاسبه و نتایج با داده های تجربی اعتبار سنجی شد.

دونادن و همکارانش [10]، به بررسی مدل سه بعدی واماندگی برای پیش بینی پاسخ دینامیکی صفحات کامپوزیتی تحت بارگذاری ضربه پرداختند. مدل استفاده شده بر طبق دیدگاه مکانیک آسیب پیوسته است که قادر است انرژی هدر رفته مربوط به هر مود واماندگی را کنترل کند. آن ها به منظور تعیین تمرکز آسیب مربوط به هر مود واماندگی و پیش بینی کاهش تدریجی سفتی در طی فرایند آسیب متغیرهای آسیب ترمودینامیکی برگشت ناپذیر تعریف کردند. همچنین مدل عددی فرایند ضربه را در نرم افزار آل اس داینا شبیه سازی کردند که دقت خوبی با نتایج تجربی داشته است.

وانگ و همکارانش [11]، به صورت عددی و تجربی به بررسی مشخصه-های ضربه سرعت پایین و استحکام کششی باقیمانده صفحات کامپوزیتی کربنی پرداختند. آن ها برای شبیه سازی فرایند ضربه از نرم افزار آباکوس استفاده کردند و مدل واماندگی هاشین و یا را به کار برند. به صورت تجربی دو مود کششی آسیب برای انرژی های مختلف ضربه مشاهده کردند.

هدايتیان و همکاران [12]، به بررسی رفتار بالستیک کامپوزیت مشبک استوانه ای با الگوی لوزی به روش تجربی و عددی پرداخت. وی به این نتایج رسید که سازه در سرعت نزدیک به حد بالستیک نسبت به سرعت بالاتر رفتاری متفاوت از خود نشان می دهد به این معنا که با نزدیک شدن به ریب-ها حد بالستیک افزایش می یابد، در حالتیکه در سرعت بالاتر از حد بالستیک با نزدیک شدن به محل تقاطع ریب ها سرعت خروجی پرتا به افزایش یافته است.

در پژوهش حاضر روش کم هزینه و مناسب برای ساخت قالب و نمونه-های استوانه ای مشبک کامپوزیتی ارائه شده است. همچنین نحوه تست تجربی شلیک پرتا به و شبیه سازی فرایند ضربه سرعت بالا بر روی استوانه مشبک کامپوزیتی توضیح داده شده است. در آخر به بررسی اثر نحوه لایه چینی و نوع پرتا به در سطح آسیب و جذب انرژی این سازه ها پرداخته شده است.

سازه های کامپوزیتی مشبک با داشتن وزن کم، دارای کارایی بالا از جمله مقاومت پیچشی بالا، مقاومت در برابر رشد ترک و خرابی، نسبت استحکام و سفتی به وزن بالا بوده و همچنین با توجه به ساختار شبکه ای، محافظت بسیار خوب حرارتی در کاربردهای فضایی مشبک در بدنه هواپیماها، سازه های هوایی، فضاییها صنعت خودروسازی، صنایع کشتی سازی، صنایع نفت و مخازن تحت فشار استفاده می شود [1]. در حقیقت این سازه ها قابلیت های سازه های کامپوزیتی ساده و همچنین سازه های تقویت شده را با هم دارند. در این سازه ها به دلیل اینکه معمولاً ریب ها به صورت یک جهت ساخته می شوند دارای درصد حجمی بالا و به تبع آن استحکام زیادی در مقایسه با وزن خود می باشند، این عامل همچنین باعث بروز برتری دیگری در نزد این سازه ها نسبت به سازه های فلزی یا کامپوزیتی ساده و یا سازه های کامپوزیتی ساندویچی می شوند که آن احتمال بسیار کم بروز پدیده تورق در آن هاست. همچنین هنگامی که تمام ریب ها از الیاف تک جهت ساخته می شوند، هیچ عدم تطبیقی در خواص مواد بروز نکرده که خود باعث مقاومت بالایی در برابر ضربه و خستگی نسبت به سازه های با لا یه چینی ساده می گردد.

در این مقاله روش ساخت قالب و نمونه استوانه مشبک کامپوزیتی و همچنین آزمایش ضربه سرعت بالا بر روی استوانه مشبک بررسی شده است که در ادامه پژوهش های انجام شده در این زمینه ها آورده شده است. هایبریج و همکاران [2] در مقاله ای به بررسی یکی از روش های ساخت سازه مشبک یعنی توسعه بلوك پرداختند. در این روش از دو ابزار استفاده می شود یکی قسمت پایه و یکی بلوك. بلوك ها از مواد تراکم ناپذیر با ضربه انسیاط حرارتی ساخته می شوند تا در هنگام پخت بلوك ها دچار تغییر شکل نشوند. بلوك ها بر روی قسمت پایه به وسیله پین نصب می شوند. این بلوك ها با فواصل خاصی کنار هم قرار می گیرند تا بتوانند الگوهای مشبک مخلطي با بهنه ای ریب مختلفی را به وجود آورند. هوانگ و همکاران [3] با استفاده از شیوه قالب گیری نرم به کمک فرآیند هم پخت برای کاهش قیمت واقعه ای نمودن سازه های پیشرفته کامپوزیتی مشبک تحقیقاتی را انجام دادند. در فرآیند پخت همزمان بخش رویه و بخش ریب های شبکه به صورت هماهنگ و همزمان تحت پخت قرار می گیرند. از جمله روش های دیگر می توان به ساخت جداگانه ریب ها و پوسته و چسباندن آن ها اشاره نمود. تسای [4] روشی را به نام تریگ برای ساخت استوانه ها و نمونه های تحت پیشنهاد کرد، در این روش لوله های کامپوزیتی با سطح مقطعه هایی نظیر مریع یا مثلك (شکل دلخواه) پس از قرار گرفتن بر روی پنل یا مندلر اصلی برش خورده و برای شکل دهی صحیح شبکه، سوار می شوند. کیم [5] روشی را برای ساخت این سازه های را به داد که در آن فرایند ساخت، با ساخت یک قالب یا مندلر فلزی آغاز شده و سپس روکشی از لاستیک مذاب نظیر لاستیک که تحمل دمای بالا را دارد به آن اضافه می شود و در دمای اتاق لاستیک سخت می گردد. سپس قطعه حاصل شده از لاستیک بر روی مندلر فلزی که برای رشته

پیچی در نظر گرفته شده است توسط پیچ سوار می شود.

گیبسون و همکارانش [6]، به صورت تجربی و عددی به بررسی جذب انرژی صفحه مشبک کامپوزیتی تحت بارگذاری عرضی پرداختند. در این پژوهش برای تست ضربه دامنه کوچکی از جابجایی در نظر گرفته شده است. جنس الیاف استفاده شده شبیه و رزین آن پلی پروپیلن بوده است. از شرایط مرزی سه نقطه خم شده توسط هاو شبیه سازی المان محدود شبه استاتیکی



Fig. 2 Pieces of Teflon mold



Fig.3 Full Teflon mold

شکل 3 قالب تفلونی کامل

این قالب تفلونی ساخته شده به دلایلی که در قسمت ساخت نمونه و ریخته پیچی در ادامه توضیح داده خواهد شد فقط برای تولید نمونه استوانه مشبک بدون پوسته مناسب است و به خاطر اینکه بتوان استوانه مشبک با پوسته ساخت قالبی به مراتب نرمتر از تفلون لازم است که به همین دلیل به ساخت قالب سیلیکونی روی آورده شد.

2-1-2- قالب سیلیکونی

برای ساخت قالب سیلیکونی به دلیل اینکه سیلیکون به صورت مایع می‌باشد، باید یک شابلونی از قبل وجود داشته باشد تا بتوان سیلیکون را درون شابلون ریخت تا بعد از پخته شدن، سیلیکون شکل آن شابلون را به خود بگیرد. همچنین سیلیکون پخته شده به دلیل نرم و منعطف بودن قابلیت تراشکاری را ندارد به همین دلیل نمی‌توان قالب استوانه‌ای سیلیکونی درست کرد و بعد روی آن شیارهای لازم برای الگوی مشبک را تراشکاری کرد. در اینجا شابلون استفاده شده همان نمونه‌هایی است که با استفاده از قالب تفلونی ساخته شده‌اند. روش ساخت به این گونه است که یک ورق آلومینیومی به اندازه طول و قطر نمونه به صورت استوانه‌ای درست شد. پس از آن استوانه آلومینیومی به دور نمونه مشبک قرار گرفت و آن را به طور کامل احاطه کرد به صورتی که تمام ریب‌ها به بدنه آلومینیوم چسبیده شد. نمونه مشبک استفاده شده برای شابلون با استفاده از قالب تفلونی ساخته شده است. در شکل 4 استوانه مشبک استفاده شده برای ساخت قالب و در شکل 5 استوانه آلومینیومی محاط بر نمونه نشان داده شده است.

2- مراحل ساخت سازه مشبک

2-1- طراحی و ساخت قالب

سازه‌های مشبک کامپوزیتی به طور کلی به سه شکل صفحات تخت، استوانه‌ای و مخروطی می‌باشند. که برای ساخت هر کدام از این هندسه‌ها روش‌های متفاوتی وجود دارد. برای این سازه‌ها قالب استفاده شده نقش بسیار مهمی در کیفیت ساخت آن‌ها دارد. برای ساخت قالب از جنس‌های مختلفی از جمله فلزات، تفلون، گچ، فوم، سیلیکون می‌توان استفاده کرد. با توجه به تولید صنعتی یا کار آزمایشگاهی نمونه و همچنین اینکه قالب برای ساخت یک نمونه یا چندین نمونه بخواهد استفاده شود و همچنین هزینه تولید آن، جنس استفاده شده برای قالب می‌تواند متفاوت باشد. به عنوان مثال اگر قالب فقط یکبار برای ساخت نمونه استفاده شود می‌توان از گچ یا فوم استفاده کرد که بعد از ساخت نمونه و برای جدا کردن نمونه از قالب تخریب قالب مشکلی نداشته باشد. در این پژوهش از دو نوع جنس (تفلون و سیلیکون) برای ساخت قالب استفاده شده است و ویژگی‌های آن‌ها گفته شده است.

2-1-1- قالب تفلونی

برای طراحی قالب از نرم افزار کتیا استفاده شد. قالب طراحی شده در شکل 1 نشان داده شده است. قالب طراحی شده به صورتی است که دو نمونه استوانه‌ای می‌توان در طول قالب تولید کرد. برای قالب شیارهای مارپیچ و محیطی طوری قرار گرفته‌اند که بتوان استوانه‌های مشبک با الگوهای لوزی، شش ضلعی و مثلثی ساخت. همچنین برای اینکه نمونه مشبک را بتوان از قالب جدا کرد قالب استوانه‌ای به صورت قطعه‌های مختلف کنار هم طراحی شد. طول قالب 70 سانتی متر می‌باشد که برای ساخت آن لوله تفلونی یک متری استفاده شد. همچنین برای این قالب یک شفت داخلی لازم می‌باشد که قالب بر روی آن نصب شود و شفت به دستگاه ریشه پیچی وصل شود. لوله تفلونی با استفاده از دستگاه سی ان سی 1 چهار محوره تراشکاری شد و شیارهای مربوطه بر روی آن ایجاد گردید. برای اینکه تیکه‌های قالب بر روی شفت جاسازی شوند، بر روی شفت سوراخ‌هایی تعییه شدند که تیکه‌های قالب با پیچ به شفت بسته می‌شوند. بخش‌های مختلف قالب در شکل 2 و قالب تفلونی ساخته شده در شکل 3 نشان داده شده است.



Fig.1 Designed mold in Catia

شکل 1 قالب طراحی شده در نرم افزار کتیا

سیلیکون لازم شد. سیلیکون مربوطه با سخت کننده اش به نسبت هر 100 گرم سیلیکون، 5 گرم سخت کننده با هم مخلوط شدند. سپس به طور یکنواخت دور تا دور فضای بین استوانه آلومینیومی و لوله پلاستیکی سیلیکون ریخته شد تا از پایه شابلون تا بالای استوانه کل فضای بین ریبها پر از سیلیکون گردد. همچین در طی ریختن سیلیکون شابلون کمی تکان داده می شد تا حباب های هوایی که بین مایع سیلیکون مانده است به سطح شابلون بیاید و از آن خارج شود تا قالب سیلیکونی با کیفیت بهتری به دست آید. با توجه به درصد ترکیب سیلیکون و سخت کننده مدت زمان 8 ساعت برای پخته شدن سیلیکون کافی است ولی برای اطمینان کامل به مدت 24 ساعت شابلون مربوطه باز نشد تا قالب به خوبی ساخته شود. پس از آن استوانه آلومینیومی از دور سیلیکون پخته شده باز شد و نمونه ای که درون سیلیکون مانده بود از داخل قالب در آورده شد. در شکل 7 قالب سیلیکونی نشان داده شده است.

2-2 ساخت نمونه

2-2-1 مواد اولیه

رزین استفاده شده اپوکسی و از نوع P200 و ساخت کشور روسیه می باشد و سخت کننده آن مدل H200 می باشد. نسبت ترکیب رزین و سخت کننده، 100 گرم رزین و 15 گرم سخت کننده است.

زمان سفت شدن رزین با سخت کننده آن حدود 2 ساعت است. همچنین الیاف از شیشه نوع E با TEX1200 می باشد. پارچه دوجهته 0 و 90 استفاده شده برای ساخت پوسته از جنس شیشه و 400 گرمی می باشد یعنی جرم هر یک متر مربع پارچه 400 گرم می باشد.

2-2-2- رشته پیچی

برای ساخت نمونه استوانه مشبک از روش رشته پیچی استفاده شد. ابتدا از قالب تفلونی استفاده شد. قالب بر روی دستگاه رشته پیچی قرار گرفت و با قلم روغن سیلیکون، واکس و فیلم جداکننده روی قالب و داخل شیارها مالیده شد تا جداکننده های شیمیایی لازم برای جدا کردن نمونه از قالب استفاده شده باشد. رزین با سخت کننده با نسبت ترکیب 100 گرم رزین و 15 گرم سخت کننده مخلوط و در محفظه ای به اسم استخراج رزین ریخته تا الیاف پس از عبور از استخراج رزین به رزین آغشته و در درون شیارها به دور قالب پیچیده شوند و ریبها را تشکیل دهند. برای ساخت نمونه از 500 گرم



شکل 7 قالب سیلیکونی

شکل 7 قالب سیلیکونی

سپس استوانه آلومینیوم در یک پایه چوبی و درون آن یک لوله پلاستیکی قرار داده شد قطر استوانه آلومینیومی 12 سانتی متر و لوله پلاستیکی 9 سانتی متر است تا خاصمت قالب سیلیکونی 1.5 سانتی متر شود که انعطاف پذیری خوبی داشته باشد. در شکل 6 شابلون ساخته آورده شده است.

پس از آماده سازی شابلون سیلیکون لازم برای ساخت تهیه گردید. با توجه به حجم بین لوله پلاستیکی و استوانه آلومینیومی تقریباً 2 کیلوگرم



Fig.4 Lattice sample made using Teflon mold

شکل 4 نمونه مشبک ساخته شده با استفاده از قالب تفلونی



Fig. 5 Aluminum cylinder inscribed on the lattice sample

شکل 5 استوانه آلومینیومی محاط بر نمونه مشبک



شکل 6 Template made for silicone mold

شکل 6 شابلون ساخته شده برای قالب سیلیکونی



Fig. 10 Lattice sample with triangular pattern

شکل 10 نمونه مشبک با الگوی مثلثی

جدول 1 مشخصات هندسی استوانه مشبک

Table 1 Lattice cylindrical geometry

| مقادیر | مشخصات |
|----------------------|-------------------------|
| 1.8 | ضخامت پوسته(mm) |
| 120 | قطر نمونه(mm) |
| 250 | ارتفاع نمونه(mm) |
| 5*6 | قطعه تقویت کننده(mm×mm) |
| 60 | زاویه مارپیچ(درجه) |
| پارچه دو جهته 0 و 90 | لایه چینی(درجه) |

مشخصات هندسی استوانه مشبک ساخته شده در جدول 1 آورده شده

است. طبق تجربه حاصل شده با توجه به اینکه قالب سیلیکونی نسبت به تفلون نرمتر و انعطاف‌پذیرتر است، جداسازی نمونه خیلی راحت‌تر اتفاق می‌افتد بدون این که کمترین صدمه‌ای به قطعه وارد شود. در قالب تفلونی به دلیل تقاطع ریب‌ها، جداسازی به راحتی اتفاق نمی‌افتد. از این جهت قالب تفلونی برای ساختن سازه مشبک با پوسته توصیه نمی‌شود. البته برای ساخت قالب سیلیکونی روش دیگری هم وجود دارد به این صورت که در آن هندسه مشبک بر روی صفحه مستطیلی طراحی می‌گردد به طوری که بعد از آن که صفحه مستطیلی به صورت لوله شود همان شکل استوانه مورد نظر ساخته شود. در اینجا با استفاده از جنس‌های کم هزینه مانند پلاگسی گلس، شابلون همان هندسه مشبک مستطیلی ساخته می‌شود و سیلیکون مایع بر روی این شابلون ریخته می‌شود و سکل هندسه مشبک را به خود می‌گیرد که پس از پخته شدن سیلیکون می‌توان این صفحه مستطیلی را به صورت استوانه درآورد که قالب سازه مشبک ساخته شود. نکته‌ای که در این روش وجود دارد این است که وقتی دو لبه صفحه مستطیلی کنار هم قرار می‌گیرند تا استوانه را تشکیل دهند انطباق خیلی خوبی ندارند و کمی فاصله بین شیارها می‌افتد.

3- آزمایش ضربه

آزمایش ضربه سرعت بالا برای نمونه نیم استوانه کامپوزیتی مشبک با استفاده از دستگاه تفنج گازی در مرکز تحقیقات مواد و سازه‌های پیشرفته و هوشمند دانشکده مهندسی مکانیک دانشگاه صنعتی خواجه نصیرالدین طوسی انجام گرفت.

قابلیت دستگاه به این صورت است که سرعت ورودی و خروجی را می‌توان ثبت کرد. برخورد در سرعت m/s 120 انجام شد. در شکل 11 دستگاه تفنج گازی نشان داده شده است.

رزین و 75 گرم سخت کننده استفاده شد. الیاف با سرعت نیم دور بر ثانیه به دور شیارها پیچیده شدند و مدت زمان پیچش نزدیک به 1 ساعت به طول انجامید. پس از اتمام رشته پیچی، نمونه رشته پیچی شده در دمای محیط به مدت 8 ساعت پخت شد و برای پخت کامل در کوره در دمای 60 درجه سانتیگراد به مدت 4 ساعت قرار داده شد. پس از آماده شدن و پخته شدن نمونه، برای جداسازی نمونه از قالب، قطعه‌های مختلف قالب از روی شفت باز شدند و از همیگر جدا گردیدند و نمونه مشبک از قالب خارج شد. به دلیل اینکه ریب‌ها با هم تقاطع داشتند و این تقاطع‌ها تقریباً یک خود قفلی مکانیکی ایجاد کردند، جدا کردن نمونه از قالب با کمی مشکل مواجه شد که به همین علت از پیچیدن پوسته به دور این قالب خودداری شد و برای ساخت نمونه‌های استوانه مشبک با پوسته از قالب سیلیکونی استفاده شد.

در استفاده از قالب سیلیکونی و رشته پیچی، تمام مراحلی که برای ساخت نمونه از قالب تفلونی به کار برده شد برای قالب سیلیکونی نیز انجام شد. در اینجا پس از رشته پیچی الیاف در درون شیارها و تشکیل ریب‌ها، برای ایجاد پوسته استوانه پارچه دو جهته به صورت دستی به دور قالب بر روی ریب‌ها پیچیده شد، برای اینکه پوسته 4 لایه ایجاد شود، پارچه 4 دور به دور قالب پیچده شد. پس از آن بر روی کل قالب، پلاستیکی قرار گرفت که با حرارت پلاستیک جمع شد و رزین اضافی خارج گردید. بعد از آماده شدن نمونه، استوانه از وسط برش داده شد تا دو نیم استوانه مشبک به دست آید. در شکل 8 قرارگیری قالب بر روی دستگاه رشته پیچی، در شکل 9 پیچیدن پوسته به دور ریب‌ها و در شکل 10 نمونه مشبک ساخته شده با الگوی مثلثی نشان داده شده است.



Fig. 8 Filament winding machines

شکل 8 دستگاه رشته پیچی



Fig. 9 Lay up of skin around ribs

شکل 9 پیچیدن پوسته به دور ریب‌ها



Fig. 13 Back view of lattice sample were tested

شکل ۱۳ نمای پشت نمونه مشبک آزمایش شده



Fig.11 Gas gun

شکل ۱۱ دستگاه تفنگ گازی



Fig. 14 Front view of lattice sample were tested

شکل ۱۴ نمای جلو نمونه مشبک آزمایش شده



شکل ۱۲ (a) فیکسچر استفاده شده در آزمایش - (b) پرتابه سر نیم کروی

فیکسچرها به گونه‌ای طراحی شده‌اند که لبه‌های نیم استوانه از بالا و پایین به صورت گیردار و دو لبه کناری به صورت پین مقید باشند (شکل 12-الف). برای آزمایش ضربه، از پرتابه استوانه‌ای آلومینیومی سر کروی با قطر 22 میلی‌متر، طول 40 میلی‌متر و جرم 27 گرم استفاده شد (شکل 12-ب).

4- نتایج تجربی

در آزمایش، پرتابه با سرعت 120 متر بر ثانیه به مرکز سلول برخورد کرد و با سرعت 101 متر بر ثانیه از نمونه خارج شد. همانطور که در شکل 13 و 14 مشاهده می‌شود، به دلیل اینکه لایه‌ها به طور متقاضان قرار گرفته‌اند و پارچه دوچهته و 90 ناحیه آسیب به صورت متقاضان ایجاد شده است و ترک‌ها به صورت صلبی شکل می‌باشند که در همان جهت 0 و 90 رشد کرده‌اند همچنین ریب‌ها از رشد ترک از یک سلول به سلول مجاور جلوگیری کرده‌اند. با استفاده از ریب‌های تک جهته کامپوزیتی، تمام الیاف به صورت متعدد در راستای ریب قرار گرفته است. در این حالت می‌توان به بیشترین میزان از درصد حجمی الیاف رسید. همچنین هنگامی که تمام ریب‌ها از الیاف تک جهته ساخته می‌شوند، هیچ عدم تطابقی در خواص مواد بروز نمی‌کند به همین دلیل است که در ریب‌ها تورق الیاف دیده نشده است. در نمونه جدایش پوسه از ریب مشاهده نشد. به هر حال با توجه به روش رشته پیچی که در آن پارچه بلافصله بعد از پیچش الیاف بر روی ریب‌ها پیچیده شده است و به صورت همزمان پخت انجام شده است، سازه به طور یکپارچه ساخته شده است و جدایی پوسه از ریب‌ها به این آسانی اتفاق نمی‌افتد.

جدول 3 خصوصیات مواد پوسته [14],[13]

Table 3 The material properties of ribs

| چفرمگی شکست (N/mm) | استحکام (GPa) | خصوصیات الاستیک |
|--------------------------|------------------|---|
| $G_f^t = 15$ | $X_t = 550$ | $E_1 = 27 \text{ GPa}$ (مدول الاستیک در راستای الیاف) |
| $G_f^c = 10$ | $X_c = 110$ | $E_2 = 27 \text{ GPa}$ (مدول الاستیک عمود بر الیاف) |
| $G_m^t = 0.5$ | $\gamma_t = 65$ | $G_{12} = G_{13} = 2.5 \text{ GPa}$ (مدول برشی) |
| $G_m^c = 1$ | $\gamma_c = 85$ | $G_{23} = 2 \text{ GPa}$ (مدول برشی) |
| | $Z_t = 50$ | $\nu_{12} = 0.272$ (ضریب پواسون) |
| | $Z_c = 70$ | $\rho = 1.6 \text{ Kg/m}^3$ (چگالی) |

X_t استحکام نهایی کششی طولی، X_c استحکام نهایی فشاری طولی، G_f^c استحکام نهایی کششی عرضی، G_f^t استحکام نهایی فشاری عرضی، G_m^c استحکام برشی طولی، G_m^t استحکام برشی عرضی، γ_t چفرمگی شکست الیاف در حالت فشار، γ_c چفرمگی شکست زمینه در حالت فشار است. برای بررسی همگرایی مش به ازای اندازه المانها مختلف سرعت خروجی پرتابه به عنوان شخص همگرایی در نظر گرفته شد که در نتایج آن در جدول 4 آورده شده است.

با توجه به اندازه مش و سرعت خروجی، در اندازه المان 4 و 3 مقادیر سرعت به هم نزدیک هستند یعنی سرعت همگرا شده است که برای این که زمان حل بالا نرود از اندازه المان 4 برای مش بندی استفاده شده است. نتایج حل عددی که سطح آسیب و سرعت خروجی پرتابه از تحلیل به دست آمده، در شکل 16 نشان داده شده است. مطابق شکل 16 سطح آسیب به صورت صلیبی بوده است و المانهای آسیب دیده و حذف شده تا راس مثلث و ضلع-های مجاور آن پیشرفت کرده است و شباهت زیادی به سطح آسیب ناشی از آزمون تجربی دارد. البته در نمونه تجربی ترک در راستای افقی رشد بیشتری داشته و از ریبها کمی عبور کرده است که آن هم می‌تواند به دلیل یکپارچگی کمتر ریب و پوسته در آن ناحیه بوده باشد که باعث شده ترک از ریب عبور کند. همچنین سرعت خروجی در حل عددی برابر 106.8 متر بر ثانیه است که اختلاف کمی با مقدار تجربی دارد و میزان خطأ به اندازه 5 درصد می‌باشد. در نتیجه تحلیل عددی با آزمون تجربی انجام شده صحت سنجی گردید.

6- بررسی پارامتری حل المان محدود

بعد از صحت سنجی مدل عددی، بعضی از پارامترهای ضربه به صورت عددی مورد بررسی قرار گرفته‌اند. لازم به ذکر است که سازه مشبک، الگوی مثلثی داشته و در تمام بررسی‌های پارامتریک سرعت ورودی پرتابه 120 متر بر ثانیه می‌باشد.

1-6 بررسی نوع پرتابه

در اینجا به بررسی اثر هندسه پرتابه در میزان سطح آسیب، جذب انرژی و سرعت خروجی در الگوی مثلثی پرداخته شده است. پرتابه‌ها به صورت سر

با توجه به نمونه ساخته شده 4 لایه با ضخامت 0.45 میلی‌متر در نظر گرفته شده است و خصوصیات مکانیکی آن به صورت تک لایه و مطابق جدول 3 اعمال شده است. در جدول 2 و 3 راستای 1 در راستای الیاف، راستای 2 در راستای عمود بر الیاف و راستای 3 عمود بر الیاف و خارج صفحه می‌باشند. همچنین برای پوسته مدل آسیب تعریف شده است که از معیار شروع آسیب و پیشرفت آسیب هاشین استفاده شده است. پیشرفت آسیب بر حسب انرژی شکست مربوط به چهار حالت آسیب یعنی کشش الیاف، فشار الیاف، کشش زمینه و فشار زمینه است که در جدول 3 مقادیر خواص آن آورده شده است. پیشرفت آسیب به این معناست که زمانی که ماده به استحکام نهایی خود رسید هنوز می‌تواند مقاومت از خود نشان دهد و کاهش خواص بعد از شروع آسیب به صورت تدریجی است تا اینکه در چهار حالت ذکر شده در بالا ماده به واماندگی برسد. برای اعمال شرایط مرزی با توجه به فیکسچر طراحی شده، پوسته قسمت بندی شد، در قسمتی که بست کمریندی بر سازه بسته شده است از شرایط مرزی ENCASTRE استفاده شد که تمام درجات آزادی آن گرفته شده است. برای لبه‌های کناری پوسته درجه آزادی جانبی آن گرفته شده است. در شکل 15 محل اعمال شرایط مرزی و همچنین محل برخورد پرتابه به استوانه نشان داده شده است. برای بارگذاری، به نقطه مرجع اختصاص داده شده به پرتابه سرعت اولیه اعمال شده است.



Fig.15 Boundary condition

شکل 15 شرایط مرزی

جدول 2 خصوصیات مواد ریب‌ها [13]

Table 2 The material properties of ribs

| خصوصیات الاستیک | مقادیر |
|--|--------------------|
| E_1 (مدول الاستیک در راستای الیاف) | 50GPa |
| $E_2 = E_3$ (مدول الاستیک در راستای عمود بر الیاف) | 8GPa |
| ν_{23} (ضریب پواسون) | 0.428 |
| $\nu_{13} = \nu_{12}$ (ضریب پواسون) | 0.254 |
| G_{23} (مدول برشی) | 2GPa |
| $G_{13} = G_{12}$ (مدول برشی) | 3GPa |
| ρ (چگالی) | 2 Kg/m^3 |

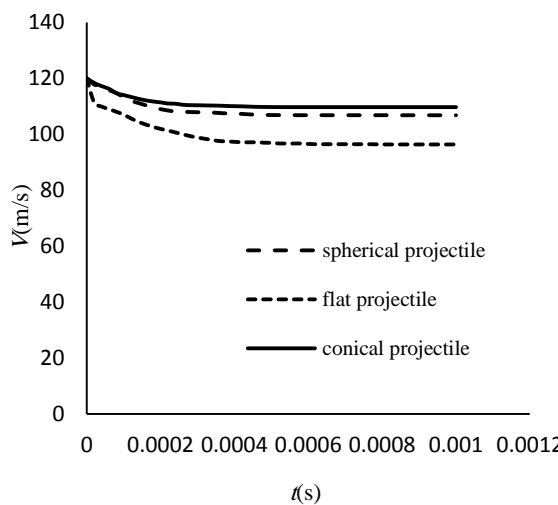


Fig.17 Velocity changes of projectile

شکل 17 تغییرات سرعت پرتابه



Fig. 18 Damage area of lattice sample with triangular cell under conical head projectile

شکل 18 سطح آسیب در نمونه مشبک با سلول مثلثی تحت پرتابه سرمهخروطی

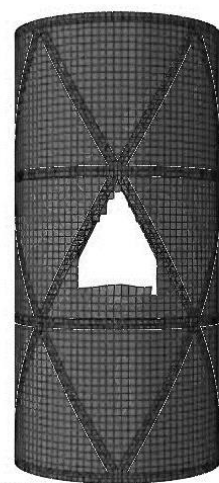


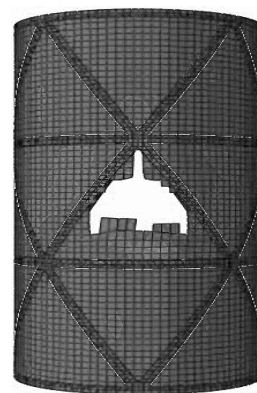
Fig. 19 Damage area of lattice sample with triangular cell under flat head projectile

شکل 19 سطح آسیب در نمونه مشبک با سلول مثلثی تحت پرتابه سر تخت

جدول 4 بررسی همگرایی مش

Table 4 Mesh study

| سرعت خروجی (m/s) | اندازه المان مش بندی (mm) |
|------------------|---------------------------|
| 101 | 6 |
| 105 | 5 |
| 106.8 | 4 |
| 107 | 3 |



شکل 16 سطح آسیب در نمونه مشبک با سلول مثلثی تحت پرتابه سر نیم کروی

مخروطی، سر نیمکروی و سر تخت می‌باشدند. طول پرتابه‌ها 4 سانتی متر و

جرم آن‌ها برابر 27 گرم می‌باشد.

تعداد لایه‌های پوسته 4 و زاویه لایه چینی 0 و 90 است. محل برخورد تمام

پرتابه‌ها در مرکز سلول مثلثی است. در جدول 5 نتایج آورده شده است.

همچنین در شکل 17 تغییرات سرعت پرتابه بر حسب زمان نشان داده شده است.

طبق نتایج جدول 5 و شکل 17 پرتابه سر تخت نسبت به دو پرتابه دیگر کاهش سرعت بیشتری دارد و سرعت خروجی آن کمتر است و جذب انرژی سازه در برخورد با این پرتابه نسبت به دو پرتابه دیگر بیشتر است. روند تغییرات سرعت برای پرتابه سر نیم کروی و سرمهخروطی نزدیک به هم است و آن به این دلیل است که شکل نوک پرتابه در این دو نوع شبیه به هم هستند ولی بر عکس در پرتابه سر تخت به دلیل این که نسبت به دو نوع دیگر حالت نوک تیزی ندارد در برخورد با سطح پوسته فشاری بیشتری وارد می‌کند که در نتیجه سرعت آن بیشتر کاهش می‌یابد و منحنی تغییرات سرعت آن از دو نوع دیگر فاصله دارد. سطح آسیب الگوی مثلثی تحت برخورد با پرتابه سرمهخروطی و سر تخت به ترتیب در شکل‌های 18 و 19 آورده شده‌اند.

جدول 5 بررسی نوع پرتابه

Table 5 Investigation of shape of projectile

| نوع پرتابه | سرعت خروجی (m/s) | انرژی جذب شده (J) |
|-------------|------------------|-------------------|
| سر مخروطی | 31.94 | 109.7 |
| سر نیم کروی | 40.41 | 106.8 |
| سر تخت | 69.2 | 96.3 |

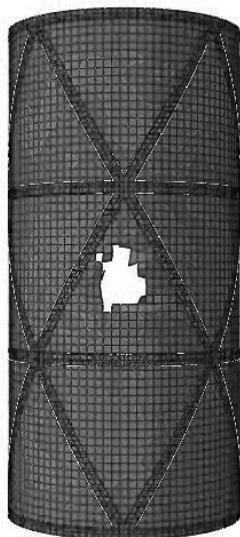


Fig. 20 Damage area corresponding to 30 degrees angle of layup

شکل 20 سطح آسیب مربوط به لایه چینی 30 درجه

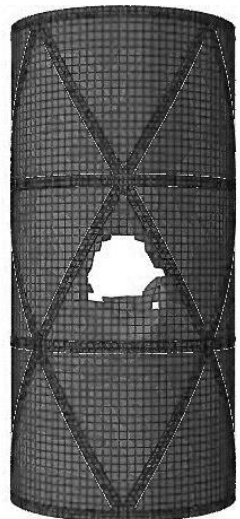


Fig. 21 Damage area corresponding to 45 degrees angle of layup

شکل 21 سطح آسیب مربوط به لایه چینی 45 درجه

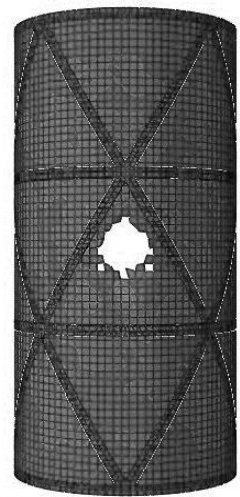


Fig. 22 Damage area corresponding to 60 degrees angle of layup

شکل 22 سطح آسیب مربوط به لایه چینی 60 درجه

مشاهده می‌شود که سطح آسیب پرتابه سرتخت بیشتر از پرتابه سرنیم کروی می‌باشد و انرژی بیشتری از پرتابه سرتخت صرف آسیب سازه می‌شود.

6-2 بررسی زاویه لایه چینی

در این بخش تعداد لایه پوسته ۴ تا در نظر گرفته شده است و نوع پرتابه سرمخروطی می‌باشد. ترتیب قرار گیری پارچه دو جهت در چند زاویه مختلف و اثر آن در سرعت خروجی، جذب انرژی و سطح آسیب بررسی شده است. در جدول ۵ نتایج مربوطه آورده شده است.

زاویه لایه چینی نسبت به بردار مماس بر استوانه می‌باشد. طبق نتایج با افزایش زاویه چینش تا محدوده تقریباً 45 درجه سرعت خروجی پرتابه کاهش می‌باید و در نتیجه جذب انرژی افزایش می‌باید بعد از زاویه 45 سرعت خروجی پرتابه افزایش یافته است و در نتیجه میزان جذب انرژی کاهش یافته است. از آنجایی که مقادیر زاویه‌ها به طور گسته داده شده‌اند فقط می‌توان بازه‌ای از زاویه را به عنوان زاویه مناسب انتخاب کرد. زاویه 45 درجه را می‌توان به عنوان زاویه مناسب انتخاب کرد که نسبت به بقیه زاویه‌ها میزان جذب انرژی بیشتری دارد. همچنین سطح آسیب پوسته با تغییر لایه چینی شکل‌های مختلفی به خود می‌گیرد که در شکل‌های 20 تا 23 نشان شده است.

مطابق شکل‌های 20 تا 23 در محدوده زاویه 45 درجه نسبت به بقیه زاویه‌ها سطح آسیب وارد، مساحت بیشتری دارد و باعث شده است که انرژی پرتابه بیشتر جذب شود و سرعت خروجی نیز کاهش یابد. به دلیل این که پارچه دو جهت است و مدول یانگ در هر دو راستای الیاف با هم برابر است در زاویه لایه چینی مثبت و منفی 45 درجه، هر لایه مانند هم بر روی مطابق شکل‌های 20 تا 23 در محدوده زاویه 45 درجه نسبت به بقیه زاویه‌ها سطح آسیب وارد، مساحت بیشتری دارد و باعث شده است که انرژی پرتابه بیشتر جذب شود و سرعت خروجی نیز کاهش یابد. به دلیل این که پارچه دو جهت است و مدول یانگ در هر دو راستای الیاف با هم برابر است در زاویه لایه چینی مثبت و منفی 45 درجه، هر لایه مانند هم بر روی هم قرار می‌گیرند و باعث می‌شود که پوسته مقاومت بیشتری داشته باشد و سطح آسیب بیشتر شود. همچنین در این زاویه سطح آسیب تا نزدیکی ریب‌های مارپیچی می‌رود. در زاویه‌های کمتر از 45 درجه هر چه زاویه‌ها به راستای استوانه نزدیک‌تر می‌شوند، آسیب کمتری می‌بینند و سرعت خروجی پرتابه بیشتر می‌شود.

7- جمع‌بندی و نتیجه گیری

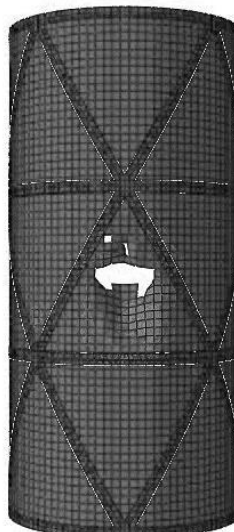
با توجه به قالب‌هایی که از دو جنس متفاوت ساخته شده‌اند و تجربه حاصل از ساخت قالب و نمونه در این پژوهش نتیجه گیری می‌شود که برای ساخت قالب استوانه‌ای مشبک، قالب باید انعطاف پذیری خوبی داشته باشد تا بتوان نمونه مشبک را از داخل قالب به راحتی جدا کرد، جنس سیلیکون این ویژگی را دارد که برای ساخت قالب سیلیکونی برای استوانه مشبک نیاز به شابلونی

جدول 6 بررسی زاویه لایه چینی

Table 6 Investigation of layup orientation

| زاویه لایه چینی (درجه) | سرعت خروجی پرتابه (m/s) | انرژی جذب شده (J) |
|---------------------------|-------------------------|--------------------|
| 31.94 | 109.7 | 0 |
| 45.56 | 105 | +30 $^{\circ}$ -30 |
| 65.54 | 97.7 | +45 $^{\circ}$ -45 |
| 41.85 | 106.3 | +60 $^{\circ}$ -60 |
| 29.96 | 110.6 | +75 $^{\circ}$ -75 |

- [4] Tsai, W. Lin, K., "Manufacturing composite grids for shell of revolution," Proc. 4th International SAMPE symposium and exhibition, Long Beach, California, 1999.
- [5] Kim, D., "Fabrication and testing on composite isogrid stiffened cylinder," Composite Structures, Vol. 45, PP. 1-6, 1999.
- [6] Gibson, R. E. Newaz, G. M. Gan, C., "Analytical/Experimental Investigation of Energy Absorption in Grid-Stiffened Composite Structures Under Transverse Loading," Experimental Mechanics, Vol. 44, No. 2, pp 185-194, 2004.
- [7] Jadhav, P. Mantena, P. R. Gibson, R. F., "Energy absorption and damage evaluation of grid stiffened composite panels under transverse loading," Composites: Part B, Vol. 37, pp. 191-199, 2005.
- [8] Fan, H. L. Yang, W. Chao, M., "Microwave absorbing composite lattice grids," Composite Science and Technology, Vol. 67, pp. 3472-3479, 2007.
- [9] Pernas-Sánchez, J. Artero-Guerrero, J. A. ZahrViñuela, J. Varas, D. López-Puente, J., "Numerical analysis of high velocity impacts on unidirectional laminates," Composite Structure, Vol. 107, pp. 629-634, Jan. 2014.
- [10] Donadon, M. V. Iannucci, L. Falzon, B. G. Hodgkinson, J. M. Almeida, S. F. M., "A progressive failure model for composite laminates subjected to low velocity impact damage," Computers and Structures, Vol. 86, pp. 1235-1252, 2008.
- [11] Wang, S. X. Wu, L. Z., "Low-velocity impact and residual tensile strength analysis to carbon fiber composite laminates," Materials and Design, Vol. 31, pp. 118-125, 2010.
- [12] Hedayatian, M. Liaghat, G. H. Rahimi, G. H. Po, M. S. I. Khoshnour, M., "Experimental study on dynamic response of grid cylindrical composite structures under high velocity impact," Journal Modares Mechanical Engineering, Vol. 14, No. 2, pp. 41-46. (In Persian).
- [13] Gibson, R. F. R., "Principles of composite material mechanics," CRC press, 2012.
- [14] Gershon, B. Marom, G., "Fracture toughness and mechanical properties of glass fibre-epoxy composites," Material Science, Vol. 10, pp. 1549-1556, 1975.



شکل 23 سطح آسیب مربوط به لایه چینی 75 درجه

هست که بتواند سیلیکون را به شکل نمونه مشبک درآورد. برای ساخت این شابلون دو راه وجود دارد. یکی این که این شابلون می‌تواند خود نمونه مشبک ساخته شده با استفاده از روش دیگری باشد که در آن روش از یک قالب ارزان و یک بار مصرف استفاده می‌شود. به عنوان مثال به جای استفاده از تفلون در مواد دیگری مانند گچ یا فوم استفاده شود. سطح آسیب، سرعت خروجی پرتا به و جذب انرژی نیم استوانه مشبک کامپوزیتی با الگوی مثلثی به صورت تجربی و عددی مورد بررسی قرار گرفت. نمونه نیم استوانه مشبک توسط دستگاه تفنج گازی تحت برخورد پرتا به سر نیم کروی شکل قرار گرفت. همچنین آزمایش در نرم افزار آباکوس شبیه سازی شد و مدل عددی با خطای 5 درصد با آزمایش صحت سنجی شد. نتایج تجربی به این صورت بود که به دلیل اینکه لایه‌ها به طور متقاضی قرار گرفته‌اند و پارچه دو جهت 0 و 90 می‌باشد ناحیه آسیب به صورت متقاضان ایجاد شده است و ترک‌ها به صورت صلبی شکل می‌باشند که در همان جهت 0 و 90 رشد کرده‌اند. همچنین ریب‌ها از رشد ترک از یک سول به سلول مجاور جلوگیری کرده‌اند. در الگوی مثلثی افزایش زاویه لایه چینی تا محدوده 45 درجه باعث کاهش سرعت خروجی پرتا به و بعد از زاویه 45 درجه دوباره باعث افزایش سرعت خروجی پرتا به می‌شود که در زاویه محدوده زاویه 45 درجه کمترین میزان سرعت خروجی پرتا به و بیشترین میزان جذب انرژی را دارا می‌باشد. پرتا به سرتخت نسبت به دو پرتا به سرمخروطی و سر کروی به دلیل اینکه سر پرتا به سطح تماس بیشتری با پوسته دارد، بیشترین آسیب را به سازه وارد می‌کند و در نتیجه سرعت خروجی پرتا به کمتر و جذب انرژی سازه بیشتر است.

۸- مراجع

- [1] Vasiliev, V. V. Barynin, V. A. Razin, A. F., "Anisogrid composite lattice structures-Development and aerospace application," Composite Structures, Vol. 94, pp. 11717-1127, 2012
- [2] Meink, E. Wegner, M. Ganley, M. Huybrechts, M., "Manufacturing theory for advanced grid stiffened structures," Composites Part A: Applied Science and Manufacturing, Vol. 33, PP. 155-161, 2002
- [3] Mingfa, R. Haoran, C. Qizhong, H., "Resin Flow of an Advanced Grid-Stiffened Composite," Springer, Composite Material, vol. 20, pp. 303-314, 2012.